

# MINIFLEX® 3-BFN Connector LONG ACTUATOR LK TYPE

Part No. 20584-0\*\*E-01

### Test Report

Product Specification no. PRS-1789

7	T21147	November 8, 2021	S.Shigekoshi	M.Muro	H.lkari
6	T19109	September 27, 2019	S.Shigekoshi	M.Muro	H.lkari
5	T19078	July 17, 2019	S.Shigekoshi	M.Muro	H.lkari
4	T17064	March 30, 2017	H.A		Y.S
Rev.	ECN	Date	Prepared by	Checked by	Approved by
0 61 6	10		LBEVI		

Confidential C I-PEX Inc. QKE-DFFDE07-07 REV.10

### Document No. TR-13022-07JP

#### MINIFLEX 3-BFN Connecter LONG ACT LK TYPE Test Report

#### 1. 目的

MINIFLEX 3-BFN コネクタ LONG ACT LK TYPE の性能を PRS-1789 に基づいて評価する。

#### 2. 試料

(1) コネクタ: MINIFLEX 3-BFN Conn. LONG ACT LK TYPE ・・・ P/N: 20584-0\*\*E-01

(2) FPC: 太洋工業(株)製

FPC 厚: t=0.20±0.03 (実測: 0.19~0.20mm)

#### 3. 試験順序

全ての評価は表1の試験順序に従って行った。

#### 4. 結果

表 2-1~2-9、グラフ 1~14 参照。試験条件の詳細は PRS-1789 参照。n 数は測定データを意味する。

#### 5. 結論

全ての資料が製品規格 (PRS-1789) の必要条件を満足した。

#### 表 1 試験順序

<u>=</u> +# <b>←</b> 15 □							山小沙大八		ープ							
試験項目	Α	В	С	D	Е	F	G	Н	J	K	L	М	N	Р	Q	R
接触抵抗	2,7			1,3, 5	1,3	1,3	1,3	1,5	1,5	1,3	1,3	1,3	1,3			
耐電圧								2,6	2,6							
絶縁抵抗								3,7	3,7							
温度上昇																1
アクチュエータロック力	1,5															
アクチュエータ解除力	3,6															
FPC 保持力		1,3														
耐久性	4	2														
端子及びロック保持力			1													
振動				2												
<b>衝撃</b>				4												
微加振試験					2											
熱衝撃						2										
高温放置			,				2									
高温高湿通電								4								
高温高湿放置									4							
低温放置 										2						
ガス(H₂S)											2					
ガス (SO <sub>2</sub> )												2				
塩水噴霧													2			
半田付け性														1		
半田耐熱性															1	

表 2-1 試験結果

				- 1		11人的央치 	データ					
試験項目	測!	定内容		規格	Set	n	A) /F ()/)	MAX	ı		V 1.2-	判定
			1				AVE.(X)	MAX.	MIN.	S	X±3s	
		*U	初期	60mΩ MAX.	5	195	23.909	29.99	19.02	3.619	34.766	0
	接触抵抗	0	20 回目	ΔR=40mΩ MAX.	5	195	0.491	4.80	-3.60	1.608	5.315	0
	(mΩ)		初期	60mΩ MAX.			15.059	18.97	11.05	2.387	22.220	0
		*L	20 回目	ΔR=40mΩ MAX.	5	195	1.127	4.57	-1.85	1.368	5.231	0
		200	初期	6.72N MAX.	_	_	3.492	3.75	3.24	0.221	4.155	0
		30P	20 回目	(0.21N/Pos.× (30+2)P)	5	5	2.594	2.78	2.47	0.124	2.966	0
		31P	初期	6.93N MAX. (0.21N/Pos.×	5	5	3.638	3.88	3.46	0.194	4.220	0
	40P dOP dOP dOP dOP dOP dOP dOP dOP dOP dO	311	20 回目	(31+2)P)	3	3	2.630	2.72	2.51	0.103	2.939	0
A グループ		40P	初期 OP	8.82N MAX. (0.21N/Pos.×	5	5	4.552	4.92	4.36	0.216	5.200	0
耐久性			20 回目	(40+2)P)	,	3	3.390	3.62	3.11	0.182	3.936	0
		初期	9.03N MAX. (0.21N/Pos.×	5	5	4.848	4.94	4.77	0.077	5.079	0	
	(N)	416	20 回目	(41+2)P)	3	3	3.478	3.72	3.36	0.151	3.931	0
		45P	初期	9.87N MAX. (0.21N/Pos.×	5		5.208	5.47	5.03	0.173	5.727	0
		437	20 回目	(45+2)P)	3	5	3.930	4.00	3.84	0.069	4.137	0
		470	初期	10.29N MAX.	F	F	5.239	5.42	5.11	0.122	5.605	0
		47P	20 回目	(0.21N/Pos.× (47+2)P)		5	3.975	4.15	3.78	0.150	4.425	0
		初期 1	10.92N MAX.	-		5.642	5.97	5.45	0.208	6.266	0	
			(0.21N/P0S.x (50+2)P)	5	5	4.006	4.24	3.91	0.134	4.408	0	

#### Document No.

## MINIFLEX 3-BFN Connecter LONG ACT LK TYPE Test Report

TR-13022-07JP

#### 表 2-2 試験結果

				10		山八河火小							
試験項目	SBILL	定内容		#日 <del>#</del> 夕	Set	5			データ			判定	
武씨火块日	<b>炽</b> .	<u></u> 上门台		規格	Set	n	AVE.(X)	MAX.	MIN.	S	X±3s	刊足	
		51P	初期	11.13N MAX. (0.21N/Pos.×	5	5	5.686	5.82	5.60	0.109	6.013	0	
		316	20 回目	(51+2)P)	3	5	4.232	4.37	4.00	0.143	4.661	0	
			初期	11.55N MAX.			5.996	6.21	5.85	0.133	6.395	0	
A グループ 耐久性		53P	20 回目	(0.21N/Pos.× (53+2)P)	5	5	4.314	4.49	4.12	0.154	4.776	0	
	ACT	57D	初期	12.39N MAX.			6.208	6.42	5.96	0.165	6.703	0	
	ロック <i>ナ</i> フ (N)	57P	20 回目	(0.21N/Pos.× (57+2)P)	5	5	4.700	4.96	4.36	0.233	5.399	0	
		61P :		初期	13.23N MAX.			6.568	6.79	6.28	0.186	7.126	0
			20 回目	(0.21N/Pos.× (61+2)P)	5	5	4.914	5.24	4.78	0.187	5.475	0	
			初期				7.518	7.70	7.35	0.158	7.992	0	
		71P	1	(0.21N/Pos.× (71+2)P)	5	5	5.894	6.16	5.71	0.180	6.434	0	

表 2-3 試験結果

	測定内容			表	<b>武八尚央</b> 7	試験結果 						
試験項目	浿	定内容		規格	Set	n	AVE.(X)	MAX.	MIN.	S	X±3s	判定
			初期	0.448N MIN.			2.240	2.47	2.05	0.174	1.718	0
		30P	20 回後	(0.014N/Pos.× (30+2)P)	5	5	2.054	2.20	1.95	0.113	1.715	0
			初期	0.462N MIN.			2.434	2.65	2.15	0.227	1.753	0
		31P	20 回後	(0.014N/Pos.× (31+2)P)	5	5	2.212	2.44	2.01	0.176	1.684	0
			初期	0.588N MIN.			3.034	3.19	2.75	0.167	2.533	0
		40P	20 回後	(0.014N/Pos.× (40+2)P)	5	5	2.808	3.01	2.64	0.142	2.382	0
			初期	0.602N MIN.			3.146	3.39	2.80	0.270	2.336	0
		41P	20 回後	(0.014N/Pos.× (41+2)P)	5	5	2.820	2.95	2.65	0.140	2.400	0
	プ ACT 解除力		初期	0.658N MIN.			3.554	3.68	3.43	0.114	3.212	0
		45P	20 回後	(0.014N/Pos.× (45+2)P)	5	5	3.090	3.34	2.75	0.218	2.436	0
			初期	0.686N MIN.		5 5	3.603	3.79	3.47	0.115	3.258	0
A グループ	解除力	47P	20 回後	(0.014N/Pos.× (47+2)P)	5	5	3.147	3.24	2.87	0.160	2.667	0
耐久性	(N)		初期	0.728N MIN.			3.824	4.04	3.51	0.231	3.131	0
		50P	20 回後	(0.014N/Pos.× (50+2)P)	5	5	3.390	3.62	3.14	0.218	2.736	0
			初期	0.742N MIN.			3.896	4.03	3.65	0.159	3.419	0
		51P	20 回後	(0.014N/Pos.× (51+2)P)	5	5	3.522	3.67	3.30	0.141	3.099	0
			初期	0.770N MIN.			3.946	4.20	3.73	0.175	3.421	0
		53P	20 回後	(0.014N/Pos.× (53+2)P)	5	5	3.564	3.71	3.30	0.174	3.042	0
			初期	0.826N MIN.	_	_	4.224	4.47	4.08	0.157	3.753	0
		57P	20 回後	(0.014N/Pos.× (57+2)P)	5	5	3.816	3.93	3.48	0.193	3.237	0
		610	初期	0.882N MIN.	_	5	4.568	4.76	4.40	0.173	4.049	0
		61P	20 回後	(0.014N/Pos.× (61+2)P)	5	5	3.994	4.22	3.88	0.137	3.583	0
		71P -	初期		5	5	5.336	5.48	5.12	0.143	4.907	0
		/ 1	20 回後	(0.014N/Pos.× (71+2)P)		,	4.518	4.75	4.43	0.132	4.122	0

表 2-4 試験結果

			表 	2-4	試験	結果 		データ			
試験項目		測定内容	規格	Set	n	AVE.(X)	MAX.	MIN.	S	X±3s	判定
	200	初期	4.90N MIN. (0.13N/Pos.×30P+1.0N)	F	F	15.612	16.14	14.69	0.626	13.734	0
	30P	20 回目	4.00N MIN. (0.10N/Pos.×30P+1.0N)	5	5	14.996	15.30	14.35	0.375	13.871	0
	31P	初期	5.03N MIN. (0.13N/Pos.×31P+1.0N)	5	5	15.896	16.76	15.40	0.545	14.261	0
	317	20 回目	4.10N MIN. (0.10N/Pos.×31P+1.0N)	5	5	15.068	15.40	14.82	0.239	14.351	0
	40P	初期	6.20N MIN. (0.13N/Pos.×40P+1.0N)	5	_	19.266	20.06	18.60	0.689	17.199	0
	402	20 回目	5.00N MIN. (0.10N/Pos.×40P+1.0N)	5	5	18.094	18.71	17.59	0.412	16.858	0
	44.5	初期	6.33N MIN. (0.13N/Pos.×41P+1.0N)	_	_	19.617	20.44	18.94	0.707	17.496	0
В グループ	41P	20 回目	5.10N MIN. (0.10N/Pos.×41P+1.0N)	5	5	18.412	19.04	17.89	0.423	17.143	0
FPC 保持力 (N)	455	初期	6.85N MIN. (0.13N/Pos.×45P+1.0N)	_	5	20.710	21.64	19.84	0.639	18.793	0
	45P	20 回目	5.50N MIN. (0.10N/Pos.×45P+1.0N)	5	5	19.764	20.42	19.29	0.472	18.348	0
	470	初期	7.11N MIN. (0.13N/Pos.×47P+1.0N)	F	_	21.351	21.78	20.45	0.530	19.761	0
	4 <i>/</i> P	20 回目	5.70N MIN. (0.10N/Pos.×47P+1.0N)	5	5	20.063	20.71	19.49	0.458	18.689	0
	FOR	初期	7.50N MIN. (0.13N/Pos.×50P+1.0N)			22.418	23.25	21.59	0.698	20.324	0
5	שכי	50P (0.13N/Pos.×50P+1.0N) 5 (0.10N/Pos.×50P+1.0N) 5 (0.10N/Pos.×50P+1.0N)	- 5 5	5	21.060	21.75	20.28	0.576	19.332	0	
	L10	初期	7.63N MIN. (0.13N/Pos.×51P+1.0N)			22.558	23.25	22.07	0.461	21.175	0
5	(0.13N/Pos.×51P+1.0N)	6.10N MIN. (0.10N/Pos.×51P+1.0N)	- 5	5	21.254	21.96	20.61	0.540	19.634	0	

#### Document No.

## MINIFLEX 3-BFN Connecter LONG ACT LK TYPE Test Report

TR-13022-07JP

#### 表 2-5 試験結果

表 2-5 試験結果											
€₩₩百円		測字由容	坦坎	Cot	_			データ			判定
武峽坦日		<b>则</b> 足内合	<b>飛竹</b>	Set	n	AVE.(X)	MAX.	MIN.	S	X±3s	刊足
		初期	7.89N MIN.			23.872	24.51	22.76	0.681	21.829	0
	53P		(0.13N/Pos.×53P+1.0N)	5	5						
	331	20 回目	6.30N MIN.			22.198	22.69	21.44	0.560	20.518	0
			(0.10N/Pos.×53P+1.0N)								
		初期	8.41N MIN.			24.872	25.39	23.78	0.643	22.943	0
	57P	(1/J <del>//</del> /)	(0.13N/Pos.×57P+1.0N)	5	5	24.072	23.39	23.70	0.043	22.943	O
B グループ	371	20 回目	6.70N MIN.		,	23.310	24.09	22.61	0.555	21.645	0
		20 円口	(0.10N/Pos.×57P+1.0N)			23.310	21.03	22.01	0.555	21.013	)
FPC 保持力		初柑	8.93N MIN.		5	26.170	26.71	25.38	0.581	24.427	0
(N)	61P	初期 	(0.13N/Pos.×61P+1.0N)	- 5		20.170	20.71	23.30	0.301	27.72/	0
	011	20 回目	7.10N MIN.			24.612	25.15	23.87	0.614	22.770	0
		20 円口	(0.10N/Pos.×61P+1.0N)			24.012	23.13	23.07	0.014	22.770	0
		初期	10.23N MIN.			29.488	30.23	28.57	0.625	27.613	0
	71P	1/J <i><del>7/</del></i> /J	(0.13N/Pos.×71P+1.0N)	5	5	29.400	30.23	20.57	0.023	27.013	O
	/17	20 回日	8.10N MIN.	٦	)	27.614	20 27	26 72	0.627	25 722	
		20 回目	(0.10N/Pos.×71P+1.0N)			27.614	28.27	26.72	0.627	25.733	0
C グループ		端子	O 2NI MINI	5	30	1.156	1.30	1.01	0.089	0.889	0
保持力		ロック	0.3N MIN	5	10	1.017	1.13	0.96	0.050	0.867	0

表 2-6 試験結果

						<u> 八</u> 海央が古 <i>ラ</i> 			データ			
試験項目		測定内	溶	規格	Set	n	AVE.(X)	MAX.	MIN.	S	X±3s	判定
			初期	60mΩ MAX.			23.764	29.97	19.00	3.357	33.835	0
		*U	振動後	ΔR=40mΩ	5	195	0.653	4.55	-3.20	1.728	5.837	0
	接触抵抗		衝撃後	MAX.			0.587	4.69	-3.32	1.822	6.053	0
	(mΩ)		初期	60mΩ MAX.			14.986	18.99	11.06	2.259	21.763	0
D グループ		*L	振動後	ΔR=40mΩ	5	195	1.143	4.14	-1.96	1.331	5.136	0
振動 衝撃			衝撃後	MAX.			1.290	4.77	-1.82	1.429	5.577	0
	瞬断		振動中	1µsec.	10	10			瞬断なし 			0
	19年四月		衝撃中	MAX.	10	10		[	瞬断なし			0
	外観		振動後	機能を損なう	10	10			0			
	グド世元		衝撃後	異常なきこと	10	10			異常なし			0
			初期	60mΩ MAX.			23.857	29.96	19.01	3.474	34.279	0
	接触抵抗	U	試験後	ΔR=40mΩ MAX.	5	195	0.508	4.68	-3.79	1.750	5.758	0
E グループ	(mΩ)		初期	60mΩ MAX.			14.925	18.95	11.10	2.184	21.477	0
微加振		L	試験後	ΔR=40mΩ MAX.	5	195	1.276	4.85	-1.61	1.377	5.407	0
	瞬断		試験中	1µsec. MAX.	10	10		ŀ	瞬断なし			0
	外観		試験後	機能を損なう 異常なきこと	10	10			異常なし			0
			初期	60mΩ MAX.			23.885	29.86	19.08	3.422	34.151	0
F グループ	接触抵抗	U	試験後	ΔR=40mΩ MAX.	5	195	0.566	4.44	-3.45	1.657	5.537	0
熱衝撃	(mΩ)		初期	60mΩ MAX.			14.930	14.930 18.98 11	11.07	2.335	21.935	0
W.EJ		L -	試験後	ΔR=40mΩ MAX.	5	5 195	1.235	4.65	-1.73	1.403	5.444	0
	外観		試験後	機能を損なう 異常なきこと	10	10		!	異常なし			0

TR-13022-07JP

表 2-7 試験結果

				11.4	2-/ 刮	人向火ボロス	<b>/</b>					
=-4:5-4:5-1		'alch	rts.	+8+47	C-1				データ			MICH
試験項目		測定内	谷 	規格	Set	n	AVE.(X)	MAX.	MIN.	S	X±3s	判定
		×	初期	60mΩ MAX.			23.811	30.00	19.00	3.470	34.221	0
G グループ	接触抵抗	*U	試験後	$\Delta$ R=40mΩ MAX.	5	195	0.473	4.76	-3.35	1.740	5.693	0
	(mΩ)		初期	60mΩ MAX.			14.904	18.99	11.02	2.345	21.939	0
高温放置		*L	試験後	ΔR=40mΩ MAX.	5	195	1.335	4.77	-1.53	1.417	5.586	0
	外観		試験後	機能を損なう 異常なきこと	10	10		T	異常なし	T	_	0
			初期	60mΩ MAX.			23.801	29.99	19.03	3.637	34.712	0
	接触抵抗	U	試験後	ΔR=40mΩ MAX.	5	195	0.484	4.53	-3.56	1.631	5.377	0
	(mΩ)		初期	60mΩ MAX.		105	14.844	18.97	11.01	2.428	22.128	0
		L	試験後	ΔR=40mΩ MAX.	5	195	1.363	4.66	-1.64	1.462	5.749	0
			初期			F 100			0			
H グループ	耐電圧	U	試験後	沿面放電、空 中放電、絶縁	5	190	異常なし			0		
高温高湿通			初期	破壊等の異常無きこと	5	100			異常なし			0
電		L	試験後		5	190			異常なし			0
		U	初期		5	190		MIN.	5.0×10 <sup>5</sup>	ΜΩ		0
	絶縁抵抗	U	試験後	100MΩ MIN	ر	130		MIN.	1.0×10 <sup>5</sup>	ΜΩ		0
	(MΩ)	,	初期	TOOI-125 MITH	_	100		MIN.	4.0×10 <sup>5</sup>	MΩ		0
		L	試験後		5   190	90 MIN. 2.5×10 <sup>5</sup> MΩ					0	
	外観		試験後	機能を損なう	10	10			異常なし			0

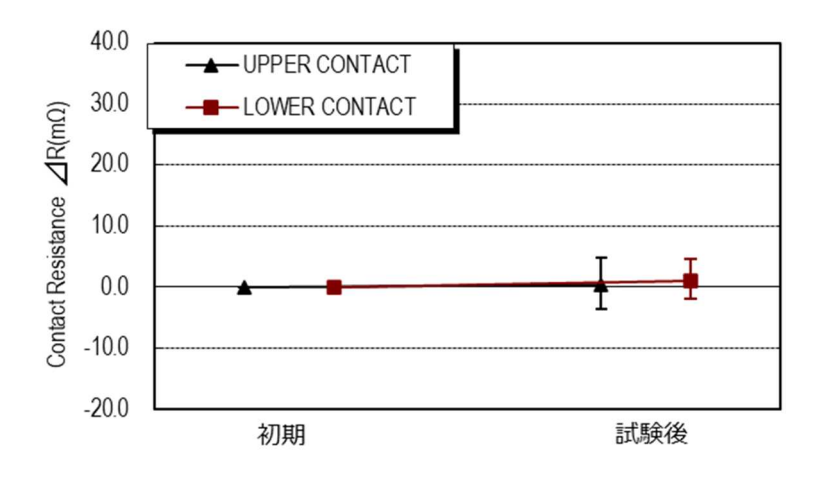
TR-13022-07JP

表 2-8 試験結果

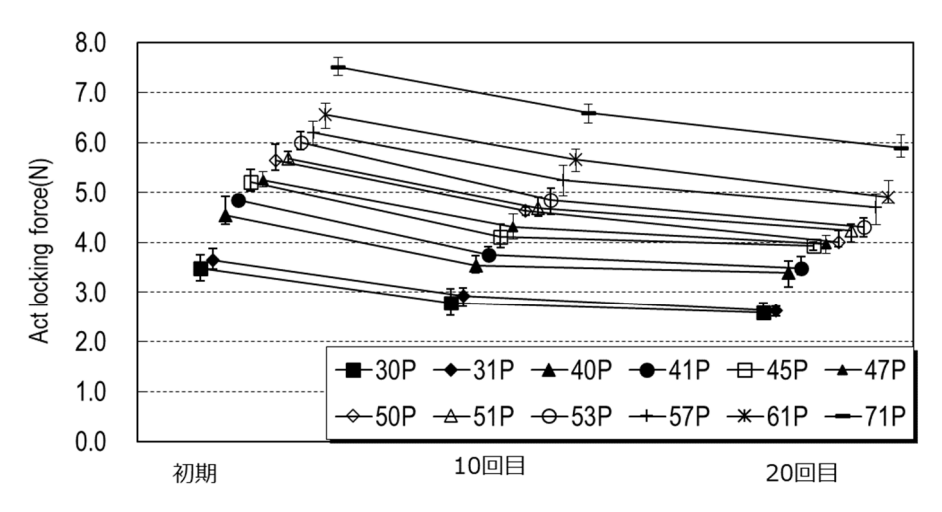
	T			衣 2-0	AVE.(X) MAX. MIN. S X±3s							
試験項目	淨	則定内容	\$	規格	Set	n	A) (E () ()	1 1441/	1		V 1 5	判定
		- '-										
		*	初期	60mΩ MAX.	-	105	23.761	29.94	19.00	3.372	33.877	0
	接触抵抗	*U	試験後	ΔR=40mΩ MAX.	5	195	0.636	4.31	-3.37	1.674	5.658	0
	(mΩ)	* <sub>1</sub>	初期	60mΩ MAX.	-	105	15.145	19.00	11.08	2.326	22.123	0
		L	試験後	$\Delta$ R=40mΩ MAX.	5	195	1.079	4.60	-1.82	1.348	5.123	0
		U	初期		5	190			異常なし			0
J グループ	耐電圧	0	試験後	沿面放電、空中 放電、絶縁破壊	,	130			異常なし			0
高温高湿放置	11117 45/11	L	初期	等の異常無きこと	5	190			異常なし			0
			試験後		<i>-</i>	100			異常なし			0
		U	初期		5	190			0			
	絶縁抵抗		試験後	100MΩ MIN	5	130	MIN. $1.5 \times 10^4 M\Omega$		0			
	(ΜΩ)	L	初期	1001 122 1 121 1		190		MII	N. 5.0×10	) <sup>4</sup> ΜΩ		0
		_	試験後			150		MII	N. 1.0×10	$^4$ M $\Omega$		0
	外観		試験後	機能を損なう 異常なきこと	10	10			異常なし			0
		U	初期	60mΩ MAX.		195	23.741	29.94	19.00	3.614	34.583	0
K グループ	接触抵抗	U	試験後	$\Delta$ R=40mΩ MAX.	5	193	0.626	4.08	-3.23	1.627	5.507	0
	(mΩ)		初期	60mΩ MAX.	5	195	15.008	18.99	11.00	2.228	21.692	0
低温放置		L	試験後	$\Delta$ R=40mΩ MAX.	ر	133	1.191	4.71	-1.72	1.383	5.340	0
	外観		試験後	機能を損なう 異常なきこと	5	5			異常なし			0
			初期	60mΩ MAX.	-	105	23.852	29.96	19.01	3.553	34.511	0
L グループ ガス(H₂S)	接触抵抗	U	試験後	ΔR=40mΩ MAX.	5	195	0.487	4.22	-3.28	1.661	5.470	0
	(mΩ)		初期	60mΩ MAX.	_	105	14.997	18.98	11.02	2.399	22.194	0
		L	試験後	$\Delta$ R=40mΩ MAX.	5	195	1.101	4.64	-1.97	1.393	5.280	0
	外観		試験後	機能を損なう 異常なきこと	10	10			異常なし			0

表 2-9 試験結果

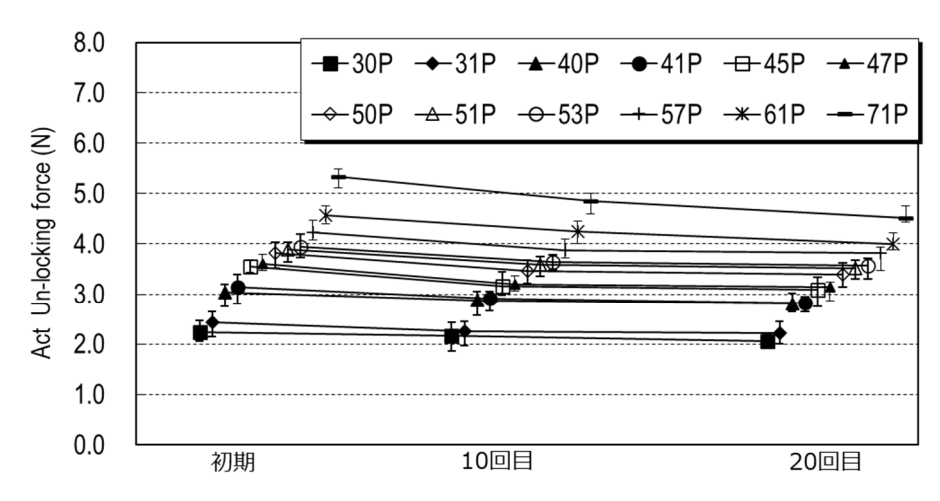
Г	表 2-9 試験結果 データ 測定内容 規格 Set n ANG (20) MAN AND MINI												
試験項目	泪	定内容		規格	Set	n		1		Τ	ı	判定	
エンバンハース 匚	( )	~	T	790111	500		AVE.(X)	MAX.	MIN.	S	X±3s	13/4	
		×	初期	60mΩ MAX.	_		23.723	29.87	19.03	3.539	34.340	0	
M グループ	接触抵抗	*U	試験後	$\Delta$ R=40mΩ MAX.	5	195	0.589	4.66	-3.37	1.728	5.773	0	
	$(m\Omega)$		初期	60mΩ MAX.			15.045	19.00	11.00	2.375	22.170	0	
ガス(SO <sub>2</sub> )		*L	試験後	ΔR=40mΩ MAX.	5	195	1.117	4.23	-1.85	1.349	5.164	0	
	外観	T	試験後	機能を損なう 異常なきこと	10	10		T	異常なし	ı	T	0	
			初期	60mΩ MAX.			23.675	29.99	19.01	3.545	34.310	0	
N グループ	接触抵抗	U	試験後	ΔR=40mΩ MAX.	5	195	0.638	4.28	-3.86	1.687	5.699	0	
	(mΩ)	(mΩ)		初期	60mΩ MAX.			15.014	18.98	11.02	2.393	22.193	0
塩水噴霧		L	試験後	ΔR=40mΩ MAX.	5	195	1.281	4.26	-1.74	1.448	5.625	0	
	外観	外観		試験後機能を損なう 異常なきこと		10	異常なし				0		
	ゼロクロス 時間		端子	3sec. MAX	5	5		MA	X. 0.1sed	C.		0	
P グループ	(sec.)		ロック	JSEC. MAX	5	5		MA	X. 0.1sed	c		0	
半田付け性	h] <del>4:</del> P		端子	95%以上	5	5		95%	以上の濡れ	.有り		0	
	外観		ロック	濡れること	5	5		95%	以上の濡れ	.有り		0	
Q グループ	ブループ リフロ	□−2 回	1	用学れます。					田学+1/				
半田耐熱性		手半田		異常なきこと	5	5			異常なし			0	
R グループ 温度上昇	0.3A/Col	/Conta	ıct	ΔT=30K MAX.	5	5	5 MAX.ΔT=10.6K のため問題なし		,	0			



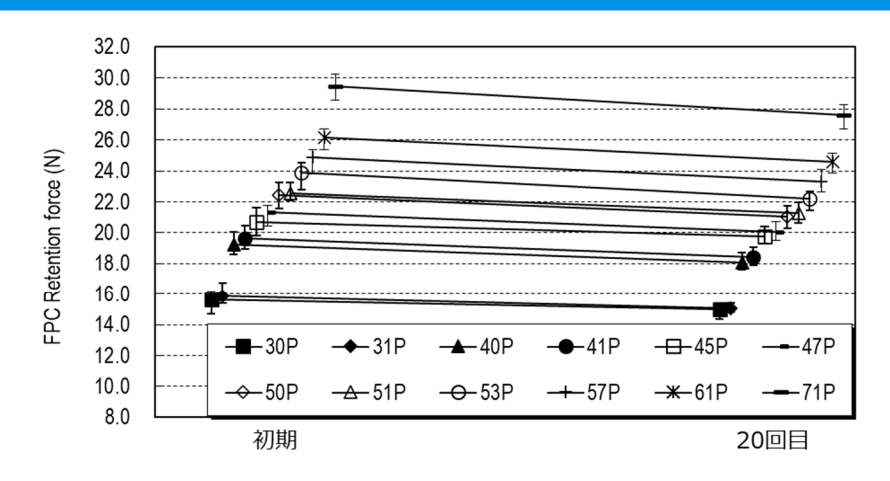
Graph.1 接触抵抗の変化 Aグループ:耐久性



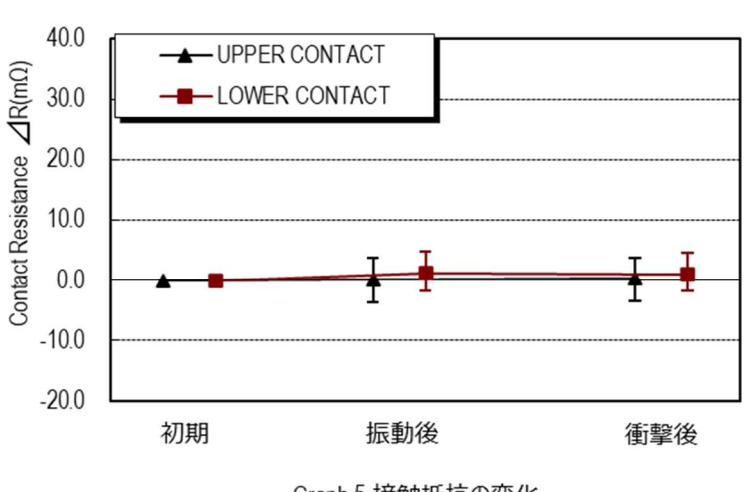
Graph.2 Act ロック力の変化 Aグループ:耐久性



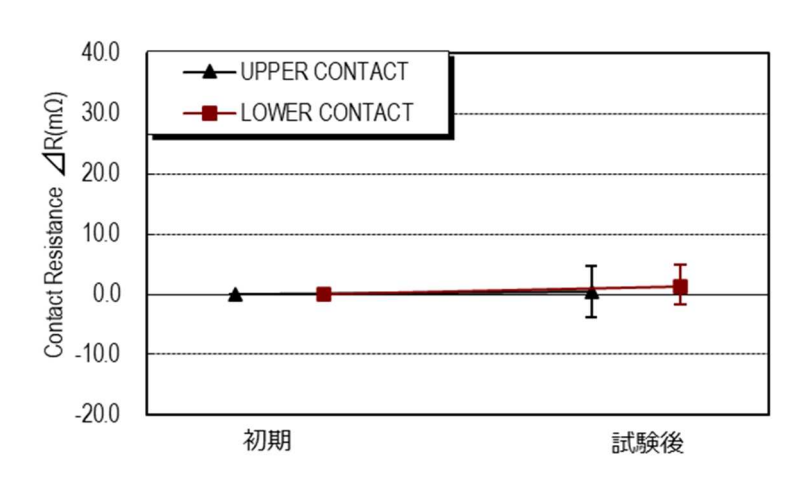
Graph.3 Act 解除力の変化 Aグループ:耐久性



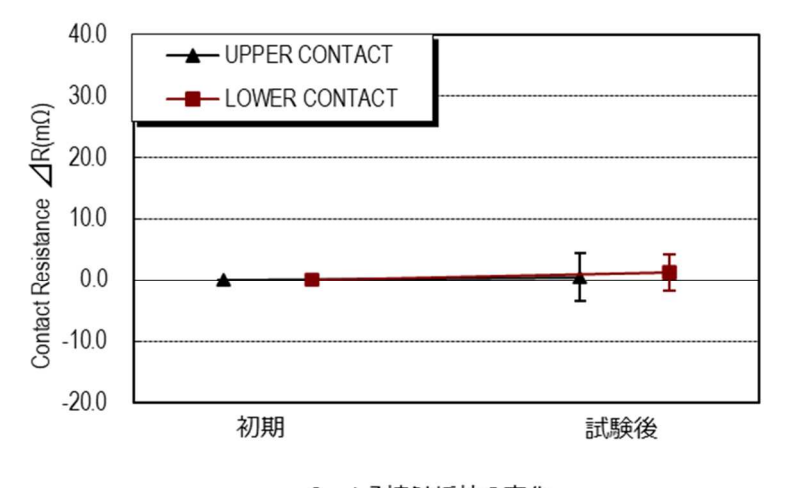
Graph.4 FPC保持力 Bグループ: FPC保持力



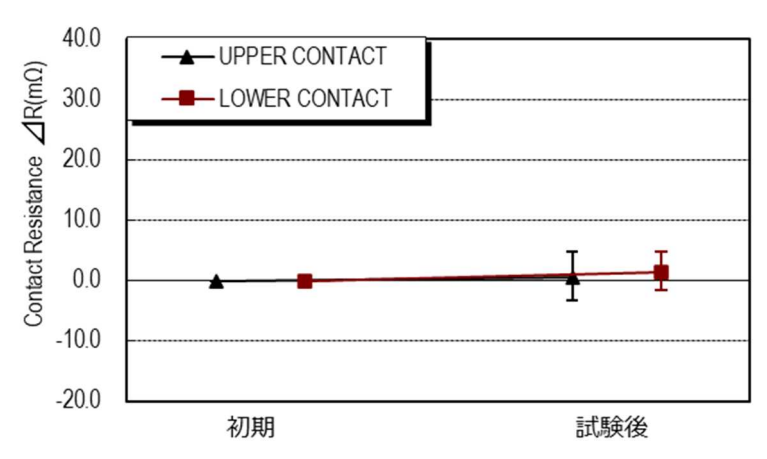
Graph.5 接触抵抗の変化 Dグループ:振動・衝撃



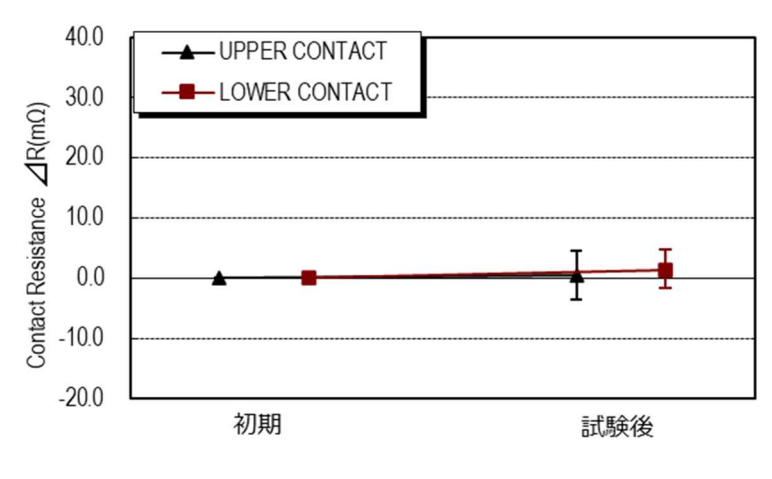
Graph.6 接触抵抗の変化 Eグループ: 微加振



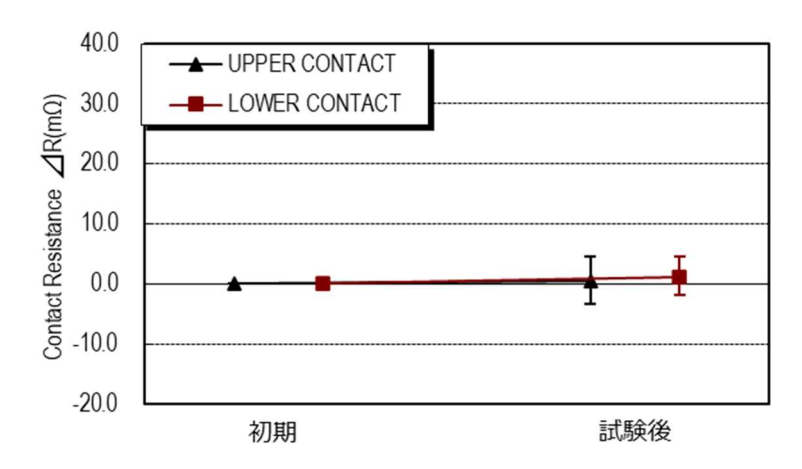
Graph.7 接触抵抗の変化 Fグループ: 熱衝撃



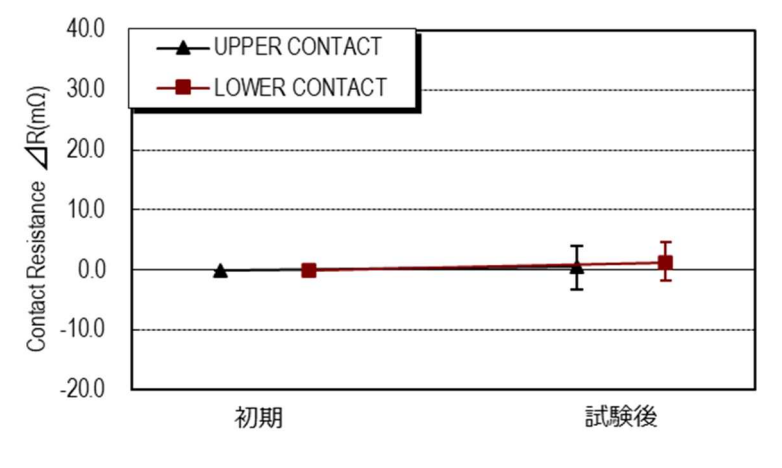
Graph.8 接触抵抗の変化 Gグループ:高温放置



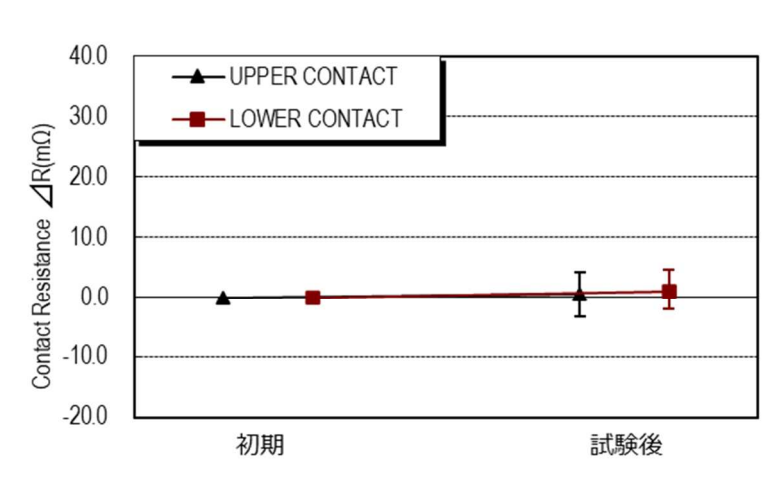
Graph.9接触抵抗の変化 Hグループ:高温高湿通電



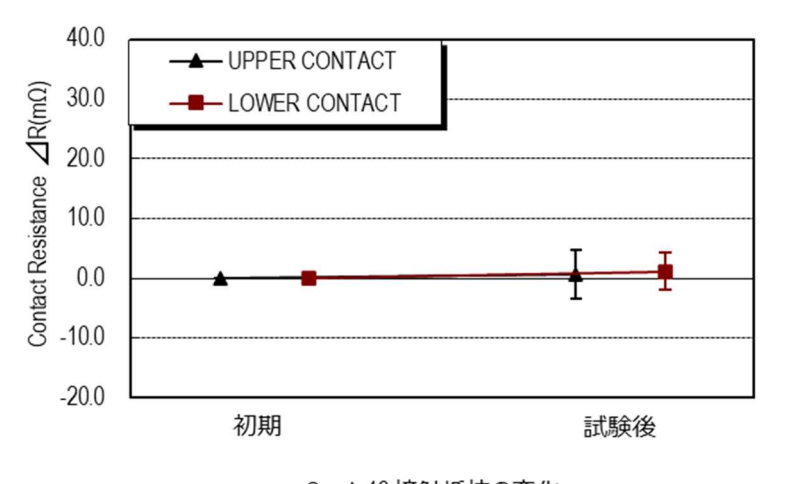
Graph.10 接触抵抗の変化 Jグループ: 高温高湿放置



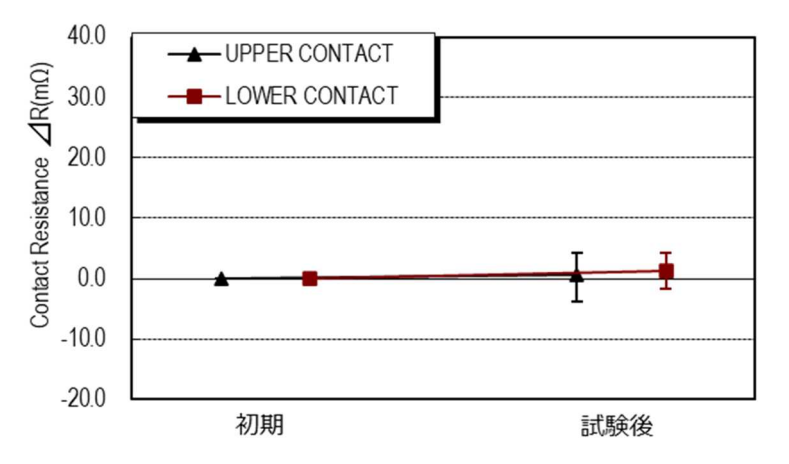
Graph.11接触抵抗の変化 Kグループ: 低温放置



Graph.12 接触抵抗の変化 Lグループ: ガス(H<sub>2</sub>S)



Graph.13 接触抵抗の変化 Mグループ: ガス(SO<sub>2</sub>)



Graph.14接触抵抗の変化 Nグループ:塩水噴霧